

СЧ/ЗГ
Д - 81

24/4II-73

СООБЩЕНИЯ
ОБЪЕДИНЕННОГО
ИНСТИТУТА
ЯДЕРНЫХ
ИССЛЕДОВАНИЙ



ДУБНА

4672/2-73

P12 - 7446

И.Дуда

ЭКСПРЕССНОЕ ИНСТРУМЕНТАЛЬНОЕ ОПРЕДЕЛЕНИЕ
ГЕРМАНИЯ И НЕКОТОРЫХ ГАЛОИДОВ
АКТИВАЦИОННЫМ МЕТОДОМ
С ИСПОЛЬЗОВАНИЕМ НЕЙТРОННОГО ГЕНЕРАТОРА
И ГАММА-СПЕКТРОМЕТРИИ С
ПОЛУПРОВОДНИКОВЫМ Ge(Li) -ДЕТЕКТОРОМ

1973

ЛАБОРАТОРИЯ ЯДЕРНЫХ РЕАКЦИЙ

P12 - 7446

И.Дуда

ЭКСПРЕССНОЕ ИНСТРУМЕНТАЛЬНОЕ ОПРЕДЕЛЕНИЕ
ГЕРМАНИЯ И НЕКОТОРЫХ ГАЛОИДОВ
АКТИВАЦИОННЫМ МЕТОДОМ
С ИСПОЛЬЗОВАНИЕМ НЕЙТРОННОГО ГЕНЕРАТОРА
И ГАММА-СПЕКТРОМЕТРИИ С
ПОЛУПРОВОДНИКОВЫМ Ge(Li) -ДЕТЕКТОРОМ

Объединенный институт
ядерных исследований
БИБЛИОТЕКА

Summary

Germanium and haloids were determined over the analytical photopeaks of isomers and isotopes ^{75m}Ge , ^{34m}Cl , ^{19}I , ^{126}Br and ^{78}Br , produced in the reactions $(n,2n)$ or (n,p) when irradiating with fast 14 MeV neutrons. Use of Ge(Li) detector ($v = 40 \text{ cm}^3$) of high resolution and efficiency made it possible to determine simultaneously several elements in one sample of the substance under analysis. The detection limits for the present conditions are from $2.3 \times 10^{-3} \text{ g}$ (iodine) to $1.8 \times 10^{-4} \text{ g}$ (germanium). The method is suitable for express determination of the mentioned elements as microcomponents in the samples of 0.1-0.2 g. The determination duration is about 15 min.

Введение

Применение первых Ge(Li) -детекторов означало новый этап в развитии гамма-спектрометрии и значительное расширение возможностей инструментальных методов активационного анализа. Приблизительно 15-30-кратное повышение разрешающей способности современных Ge(Li) -детекторов по сравнению с лучшими спектрометрическими сцинтилляционными кристаллами NaJ(Tl) /1,8 - 3,5 кэв против 8%, т.е. 53 кэв для линии 662 кэв Cs¹³⁷ / позволило идентифицировать в спектрах значительно большее количество разрешенных гамма-линий, по которым можно производить элементный анализ веществ.

Первые типы Ge(Li) -детекторов обладали малым чувствительным объемом и низкой эффективностью регистрации гамма-квантов. Для получения фотопиков с количеством импульсов, достаточным для решения конкретной задачи, было необходимо измерять объекты с высоким уровнем наведенной активности или значительно увеличивать время измерения по сравнению с измерением на сцинтилляционном детекторе. Поэтому Ge(Li) -детекторы можно было использовать для целей активационного анализа только при активации с помощью интенсивных потоков активирующих частиц, например, с помощью тепловых нейтронов реактора / $\Phi = 10^{11} - 10^{14} \text{ н/см}^2\text{.сек/}$ и для определения по радиоизотопам с большими периодами полураспада /дни, часы/.

Улучшение технологии производства Ge(Li)-детекторов, увеличение их чувствительных объемов и повышение эффективности регистрации позднее позволило использовать эти детекторы и при работе со слабыми потоками, например, с пучком быстрых нейтронов нейтронных генераторов / $\Phi = 10^7 - 10^{10}$ н/см² сек/, т.е. с низкими наведенными активностями и с короткоживущими изотопами и изомерами, удобными для разработки экспрессных методов элементного анализа веществ. Несмотря на это, число аналитических работ, проведенных на нейтронном генераторе с использованием Ge(Li)-детекторов, составляет всего около 10, при общем числе работ по активационному анализу с использованием нейтронного генератора, приближающемся уже к 1000^{/1/}. Подобное состояние при современном росте параметров генераторов и детекторов явно не соответствует возможностям данного варианта активационного анализа, как в области исследовательской, так и промышленно-прикладной.

Ge(Li) - детекторы изготавливаются из германия полупроводниковой чистоты, для производства которого во многих случаях применяются германий-органические соединения, обладающие, кроме того, рядом других ценных свойств ^{/2/}. Ежегодно синтезируются и изучаются сотни и тысячи германий-органических соединений. Первой фазой в их исследовании обычно является качественный и количественный химический анализ, классические методы которого приводят к довольно хорошим результатам, но они длительны и трудоемки, прежде всего вследствие необходимости предварительной минерализации образца ^{/3/}. Именно процесс предварительной минерализации является чаще всего источником ошибок при анализе таких образцов.

Предложенный нами метод инструментального определения германия в германий-органических соединениях с помощью тепловых нейтронов реактора ^{/4/} и метод экспрессного определения германия с помощью быстрых нейтронов генератора ^{/5/} позволяют производить определение без предварительной минерализации образца.

Работа ^{/5/} была проведена с помощью сцинтилляционного детектора NaJ(Tl) φ40x40 мм, так как, соглас-

но работе ^{/6/}, первое использование Ge(Li)-детектора с чувствительным объемом 22 см³ для активационного определения германия с использованием генератора нейтронов с энергией 14 Мэв не привело к положительным результатам. Наша более поздняя работа ^{/7/}, однако, показала, что использование Ge(Li) - детектора большего объема /40 см³ / дает хорошие результаты и при экспрессном методе определения этого элемента с использованием изомера Ge ^{75m}.

Применение больших Ge(Li) - детекторов позволяет, кроме того, одновременное экспрессное определение германия и галоида из одной навески.

Экспериментальная часть

Определение проводилось с помощью быстрых нейтронов / E = 14 Мэв/ нейтронного генератора НГ-200 с током на образце в пределах 2 - 6x10⁸ н/см² сек и гамма-спектрометрической аппаратуры, состоящей из коаксиального Ge(Li) - детектора с чувствительным объемом 40 см³, производства ОИЯИ Дубна, предусилителя и двух усилителей, блока интегрального и дифференциального формирования импульсов, 4096-канального амплитудного конвертора СА 13 В, блока памяти ВМ 26 и быстрого магнетрона RG 23 для вывода информации в течение эксперимента /100 каналов в сек/, производства фирмы Intertechnique.

Аппаратурное оформление не включало пневматическую почту, но после некоторых изменений позволило начинать измерения в течение 10 - 15 секунд после облучения. Режим работы /время облучения, охлаждения и измерения образца/ был равен 300 - 15 - 300 сек соответственно. Часть результатов измерения рассчитывалась с помощью малого счетного устройства ТПА венгерского производства. Упаковка образцов, геометрия одновременного облучения образца и медного монитора, а также независимый счетчик нейтронов были такими же, как в работе ^{/5/}.

Определение германия можно производить по фотопикам целого ряда его изотопов и изомеров. На рис. 1 нашей работы /5/ показаны фотопики или неразрешенные суперпозиции короткоживущих изотопов или изомеров Ge^{75m}, Ge^{75g}, Ga⁷³, Zn⁷¹ и Ga⁷⁴, возникающих при облучении германия, а также фотопик N¹³, возникающий по первичным и вторичным реакциям N¹⁴(n,2n)C¹³(p,n);O¹⁶(p,a) быстрых нейтронов с ядрами неопределляемых элементов, находящихся в полиэтиленовой упаковке, в соединениях германия и в воздухе, заключенном в полиэтиленовых упаковках. На рис. 2 той же работы /5/ - распад аналитического фотопика 139 Мэв изомера Ge^{75m}, выбранного для экспрессного определения германия. Ge^{75m} образуется по реакции Ge⁷⁶(n,2n)Ge^{75m}. Определения можно выполнять и по долгоживущим изотопам Ga⁷² и Ge⁶⁹, суперпозиции фотопиков которых приведены на рис. 1 данной работы. Из рис. 1 работы /5/ и рис. 1 настоящей работы очевидно, что сцинтилляционный детектор и 128-канальный анализатор не дают возможности определять одновременно с германием другие элементы по их фотопикам в области гамма-спектра E_γ < 1 Мэв.

На рис. 2 и в табл. 1 представлены экспериментальные данные для четырех полупроводниковых Ge(Li)-детекторов, использованных в нашей работе, и произведено сравнение их параметров со сцинтилляционным детектором, использованным нами в работе /5/. Измерение кривых абсолютной эффективности, которое подробно описано в работе, посвященной определению ртути /8/, показало, что с ростом эффективного объема детектора растет и абсолютная эффективность регистрации гамма-квантов, и что наибольший из использованных детекторов /40 см³/ в мягкой области гамма-энергий обладает эффективностью, сравнимой с кристаллом NaJ(Tl) ф 40x40 мм и в 30 раз большей разрешающей способностью.

Из рис. 3 видно, что в мягкой области спектра облученного германия, измеренного с помощью гамма-спектрометрической аппаратуры, включающей Ge(Li)-детектор и 4096-канальный анализатор импульсов, наблюдаются целые области энергий, где могут без интерференции разместиться фотопики других изотопов. В табл. 2

приведен ряд некоторых ядерных реакций, инициированных нейтронами с энергией 14 Мэв, которые можно использовать при одновременном определении германия и галоидов. Звездочкой помечены аналитические реакции, использованные в данной работе. Выбор производился эмпирически, облучением соответствующих соединений в стандартных условиях, вследствие значительных разногласий в литературных данных о сечениях этих реакций /9,10/. Для расчетов безинтерференционных чувствительностей определения и пределов обнаружения было проведено 10 облучений стандартных упаковок в одинаковом режиме /300 - 15 - 300 сек/. Сумма импульсов при измерении облученной упаковки в области энергий аналитического фотопика определяемых изотопов принималась за фон. Результаты определения F, Cl, Br, I и Ge по соответствующим аналитическим фотопикам представлены в табл. 3. Все определения нормированы на нейтронный поток 5x10⁸ н/см² сек.

Из табл. 2 и 3 вытекает, что по чувствительности определений, выраженной в имп/мг, определяемые элементы располагаются в ряд Ge > F > Br > Cl > I. По пределам обнаружения / в мг/ расположение иное - Br > F > Ge > Cl > I, что связано с распределением фоновых импульсов по энергиям.

Определение изучаемых элементов индивидуально или в нескольких комбинациях производилось на искусственных смесях, для приготовления которых использовались те же химические соединения, которые применялись и для определения чувствительности и пределов обнаружения. Различные весовые количества исследуемых веществ смешивались с органической матрицей - гидрохиноном, глюкозой или лимонной кислотой. Общая величина навески - 150 - 200 мг. На рис. 4 приведена низкоэнергетическая область спектров смесей и конкретных соединений, содержащих Ge и F, на рис. 5 - тоже для более сложных смесей, содержащих Ge, F и Br. Результаты определения Ge, F и Br в этих смесях представлены в табл. 4. Расчет стандартных отклонений производился для $n = 3$ и $|1 - \alpha| = 0,95$. Исключение грубых ошибок производилось согласно критерию Дина и Диксона /11/.

На рис. 6 приведены калибровочные кривые для определения всех пяти элементов в режиме ЗОО - 15 - ЗОО сек, при использовании описанной аппаратуры и нормировании площадей фотопиков на поток 5×10^8 н/см² сек.

Обсуждение результатов

Малые различия в толщине облучаемых образцов, хорошо воспроизводимое минимальное расстояние между образцом и мишенью нейтронного генератора, а также фиксированная геометрия измерения наведенной активности позволяют избежать поправок для отдельных образцов на ослабление интенсивности потока быстрых нейтронов и на поглощение гамма-излучения в объеме образца, обусловленных чисто геометрическим фактором. Хорошее согласие полученных результатов с результатами классических методов /12/ позволяет пренебречь также такими факторами, как снижение энергии малой части бомбардирующих нейтронов до значений ниже пороговых энергий аналитических реакций /термализация, рассеяние/ /13,14/. Вследствие тех же причин не производилась поправка на мертвое время при измерении короткоживущих изотопов /15/ в изученных интервалах концентраций /О - 50 мг элемента в навеске 150 - 200 мг/ при данных экспериментальных условиях / интеграл за 300 сек, описанная аппарата/.

По сравнению с работой /7/ чувствительность определения германия в данном эксперименте на ~ 20% выше /420 имп/мг по сравнению с 357 имп/мг. Основной причиной является более высокое среднее значение нейтронного потока, что позволило нормировать результаты на обычно доступную величину 5×10^8 н/см² сек. Кроме того, время охлаждения образца было сокращено с 60 до 15 сек. Такое изменение рабочего режима не привело практически к каким-либо изменениям в области возможных интерференций, подробно обсуждаемых в работе /7/. F, Cl, Br и I можно определять также по анигиляционному фотопику 511 кэв (F^{18} , Cl^{34m} , Br^{78} , I^{126}). Его использование для аналитических целей является

возможным и желательным особенно для Cl и I, так как позволяет повысить чувствительность определения. Условием использования фотопика 511 кэв, однако, является предварительное знание элементного состава образца и оценка возможных вкладов в этот фотопик. Использование анигиляционного фотопика, как правило, весьма интенсивного, оправдывает себя в тех случаях, когда имеются один или два позитронных излучателя, обладающих и другими гамма-линиями, для которых хорошо известно соотношение их интенсивностей. Используемое экспериментальное оборудование поэтому должно иметь точно измеренную зависимость абсолютной эффективности регистрации гамма-квантов от энергии гамма-излучения.

Хлор можно с успехом определять по фотопику 145 кэв изомера Cl^{34m} , не перекрывающемуся с фотопиком 139 кэв Ge^{75m} по анигиляционному фотопику или по радиоизотопу S^{37} . Определение иода более затруднительно, так как продукты реакций быстрых нейтронов с единственным стабильным изотопом этого элемента имеют неблагоприятные для данной работы ядерные характеристики: для I^{126} $T_{1/2} = 13,1$ дня, интенсивность единственной гамма-линии /418 кэв/ I^{127} составляет всего 1%, а изомер Sb^{124m2} , возникающий в реакции (p, a), имеет одну мягкую линию /18 кэв/, измерение которой на данной аппаратуре невозможно. Лучших результатов для иода можно было бы достичь при активации тепловыми нейтронами, так как, несмотря на снижение интенсивности потока нейтронов приблизительно на 2 порядка после их термализации, активация по реакции (p, y) происходит с сечением в пять раз большим /5,2 барн/. При 5-минутной экспозиции должно возникнуть ~ 13% от насыщенной активности изотопа I^{128} / $T_{1/2} = 25$ мин/, что почти на 3 порядка больше, чем для I^{127} $T_{1/2} = 13,1$ дня/. Результирующий эффект для линии 455 кэв /17,4%/ изотопа I^{128} был бы приблизительно в 25 раз большим, т.е. около 450 имп/мг иода. Лучших результатов по сравнению с нейтронами 14 Мэв можно ожидать также при облучении с помощью нейтронов 2,8 Мэв, получаемых по реакции (d, d) /16/.

Ввиду ограниченного времени рабочих циклов триггерных мишеней нейтронных генераторов, а также необходимости соблюдения требований экспрессности определения, возникает потребность использования короткоживущих изотопов и изомерных состояний, подбора рабочего режима, введения в аппаратурную схему стабилизаторов мертвого времени и т.д. Каждая конкретная работа для получения оптимальных результатов требует индивидуальной оценки аппаратурного оформления и выбора режима работы. Для этих целей может оказаться полезным графическое изображение зависимости от времени возникновения и распада наведенной активности для данного времени облучения. Подобная зависимость для системы пяти изученных элементов при времени облучения 5 мин приведена на рис. 7

Аналитический фотопик 139 кэв можно использовать и для определения мышьяка по реакции $\text{As}^{75}(\text{n},\text{p}) \text{Ge}^{75m}$. Однако сечение этой реакции, а тем самым и чувствительность определения, приблизительно в 100 раз меньше, чем в случае определения германия по реакции $\text{Ge}^{76}(\text{n},2\text{n}) \text{Ge}^{75m}$.

Практически это означает, что 0,1 мг Ge имитируется весовым количеством 10 мг As, т.е. при анализе германий-органических соединений, мышьяк в которых практически вообще отсутствует, мешающее влияние As имеет чисто теоретический аспект.

К настоящему времени синтезированы германий-органические соединения, содержащие кроме германия и галоидов от одного до трех других гетероэлементов. Анализ таких образцов очень сложен, так как в роли дополнительных гетероатомов выступают более 40 элементов периодической системы. Использование быстрых нейтронов генератора в комбинации с Ge(Li)-детекторами для анализа таких соединений особенно перспективно в случае определения Na, Al, P, Sc, V, Ni, Cu, Zn, Ga, Se, Rb, Zr, Mo, Ru, Ag, Cd, In, Sb, Ba, Ce, Pr, Nd, Hf и некоторых других элементов, кратковременное облучение которых приводит к возникновению изотопов и изомеров с короткими периодами полураспада и фотопиками в мягкой области энергий, где Ge(Li)-детекторы обладают максимальной эффективностью регистрации

гамма-квантов, а их высокая разрешающая способность позволяет безинтерференционное измерение площадей фотопиков, по которым производится определение.

Заключение

Разработанные методики пригодны для экспрессного /15 минут без подготовки образца/ определения Ge, F, Cl, Br и I в элементоорганических соединениях, а также в технических продуктах, в которых эти элементы находятся в виде макрокомпонента и анализ которых классическими методами органического анализа требует длительного времени. Дальнейшее усовершенствование методики должно идти по пути использования пневмопочты и обработки гамма-спектров на ЭВМ, в программы которых должны быть включены коррекции на флюктуацию нейтронного тока, фон, навески и т.д., что позволило бы в дальнейшем при работе с большими сериями образцов перейти к полностью автоматизированному процессу с программным управлением.

Автор выражает признательность А.М.Кучеру и Б.Бочеву за помощь в работе.

Литература

1. R. van Grieken, J. Hoste. Annotated bibliography on 14MeV Neutron Activation Analysis. Bureau Eurisotop-Information and Documentation Section, Euratom, 1972.
2. В.Ф. Миронов, Т.К. Гар. Органические соединения германия. Изд-во "Наука", Москва, 1967.
3. M. Večeřa. Organická elementární analýza. SNTL Praha 1967.
4. И.Дуда, С.И.Обтепперанская, И.Дудова. Ж.аналит. хим., 27, 373 /1972/.
5. И.Дуда, С.И.Обтепперанская, И.Дудова. Ж.аналит. хим., 27, 155 /1972/.
6. I.Fujii, T.Inouye, H.Muto, K.Onodera. Analyst 94, 189 (1969).
7. И.Дуда, И.Дудова. Сообщение ОИЯИ, 12-6221, Дубна, 1972.
8. И.Дуда. Сообщение ОИЯИ, Р12-7447, Дубна, 1973.

9. M.Cuypers, J.Cuypers. *J.Radioanal.Chem.*, 1, 3, 243 (1968).
10. И.В.Меднис. Справочные таблицы для нейтронно-активационного анализа. Изд-во "Зинатне", Рига, 1969.
11. K.Eckschläger. Chyby chemických rozborů. SNTL Praha 1961.
12. С.И.Обтеперанская, И.Дудова. Ж.аналит.хим., 24, 1241 /1969/.
13. E.Ricci, J.Inorg.Chem., 27, 44 (1969).
14. D.Bruno, K.Jirlow. J.Radiatnol.Chem., 2, 49 (1969).
15. J.Bartosek, G.Windels, J.Hoste. *Nucl.Instr.Methods*, 103, 43(1972).
16. E.P.Przybylowicz, G.W.Smith, J.E.Suddeth, S.S.Nargolwalla. NBS Special Publication 312 (Proc. of the 1968 International Conference on Modern Trends in Activation Analysis), p. 888.

Рукопись поступила в издательский отдел
7 сентября 1973 года.

Таблица 1.
Разрешающие способности
использованных детекторов гамма-излучения.

№ детектора	типа детектора	чувствительный объем/размеры/	энергетическое разрешение для линий Ra ²²⁶ , Cs ¹³⁷ или Co ⁶⁰	
			кэв	%
1	полупроводник. Ge/Li	1,5см ³	8,0	1,27/609/
2	полупроводник. Ge/Li	10см ³	4,0	0,66/662/
3	полупроводник. Ge/Li	30см ³	3,8	0,57/609/
4	полупроводник. Ge/Li	40см ³	3,8	0,52/1330/
5	спинтилляц. NaJ/Tl	40x40 мм	74,2	11,2 /662/

Таблица 2.
Аналитические /+/- и некоторые другие ядерные реакции,
которые могут быть использованы для данной работы.

стаб. изотоп и содержание в ест. смеси	ядерная реакция	сечение реакции /мб/	продукт реакции	T _{1/2}	энергия /кэв/ и выход/% гамма-излучения
F ¹⁹ 100 %	n,2n (+) n,P	50 20	F ¹⁸ O ¹⁹	118мин 29сек	511/200/ 197/97/1360/55/
	n,α	20	N ¹⁶	7,3сек	6140/69/7110/Б/ и т.д.
Cl ³⁵ 75,5	(+) n,2n	8	Cl ^{34m}	32,4мин	2130/62/145/27/ и т.д.
Cl ³⁷ 24,5	n,P	30	S ³⁷	5,1мин	3090/90/
Ge ⁷⁶ 7,76	(+) n,2n	800	G ^{75m}	49сек	137/37/
Br ⁷⁹ 50,5	(+) n,2n n,P	850 10	B ⁷⁸ Se ^{79m}	6,5мин 3,9мин	613/14/+оннинг. 96/4/
Br ⁸¹ 49,5	n,2n n,P	650 15	B ^{80m} Se ^{81m}	4,4час 1,0час	36/5/ 103/13/
	n,α	16	Se ⁸¹	18,6мин	275/36/480/24/ 170/1/
	n,α	30	A ⁷⁸	1,0час	615/42/ 695/16/ и т.д.
J ¹²⁷ 100	(+) n,2n n,P n,α	1200 20 5	T ¹²⁶ Te ¹²⁷ Sb ^{124m}	13,1дн 9,4час 21мин	386/34/ 650/33/+оннинг. 418/1/ 18/2/

Таблица 3.

Бесинтерференционные чувствительности и
пределы обнаружения F, Cl, Ge, Br и J.

элемент	хим. форма	вес элемента/мг/	аналит. фотопик /кэв/	площадь фотопика /имп/	чувствит. определений/имп/мг/	фон \sqrt{N} /имп/	предел обнаружения /мг/
F	LiF	98,2	198	39585	403	74	0,18
Cl	LiCl	117,5	145	23806	136	94	0,71
Ge	Ge, GeO ₂	152,3	139	71083	467	121	0,26
Br	C ₆ H ₅ Br ₂	80,1	614	28581	369	33	0,09
J	KJ	187,5	386	3380	18	42	2,34

Таблица 4.

расчетное весовое кол-во элемента /мг/			найденное кол-во элемента /среднее 3-х определений /мг/			абсолютная ошибка определения элемента /мг/		
Ge	F	Br	Ge	F	Br	Ge	F	Br
6,41	38,29	14,33	6,49	38,50	13,95	+0,08	+0,21	-0,38
6,41	19,15	30,28	6,02	18,99	30,19	-0,39	-0,16	-0,09
6,41	9,57	55,70	6,81	8,50	56,22	+0,40	-1,07	+0,55
23,76	25,62	7,02	24,10	28,10	6,52	+0,34	+0,48	-0,50
23,76	17,70	22,44	23,93	17,19	22,22	+0,17	-0,51	-0,22
23,76	7,35	56,11	23,08	8,01	56,70	-0,68	+0,66	-0,41
42,82	5,12	33,16	43,01	4,88	33,16	+0,19	-0,40	0,00
42,82	11,83	20,82	42,60	12,17	21,05	-0,22	+0,34	+0,23
42,82	19,06	6,54	42,82	12,17	6,09	0,00	+0,11	-0,45

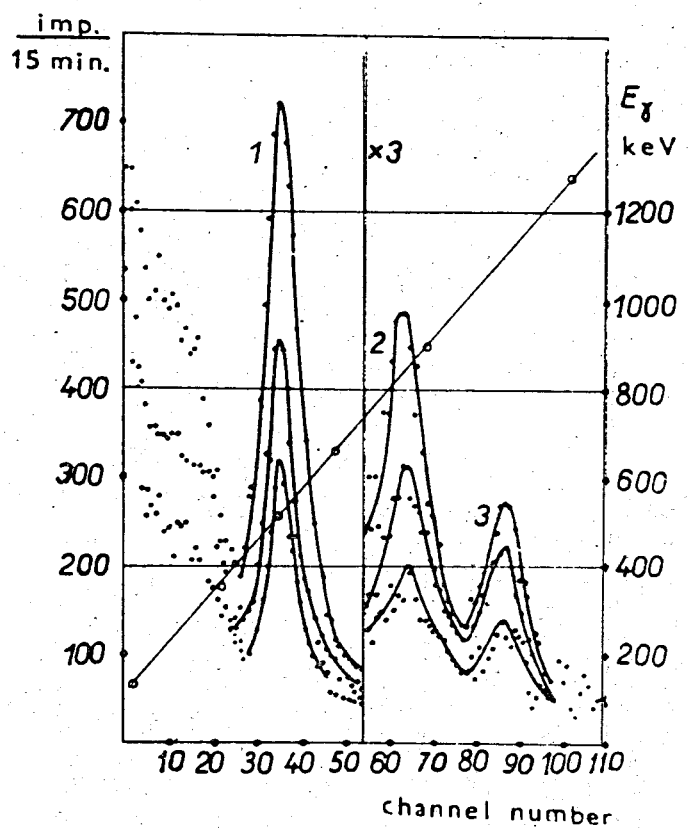


Рис. 1. Часть гамма-спектра германия /78,2 мг/, снятого сцинтилляционным спектрометром с кристаллом NaJ(Tl) δ 40x40 мм через 19, 42,5 и 77 час после 5-минутного облучения потоком $1,9 \times 10^8$ н/см² сек. 1,2,3 - суперпозиции неразрешенных фотопиков Ga⁷² и Ge⁶⁹ / $T^{1/2} = 14,8$ и 37 час/. 511 + 573 + 601 + 630 кэв; 835 + 872 + 894 кэв и 1050 + 1107 кэв.

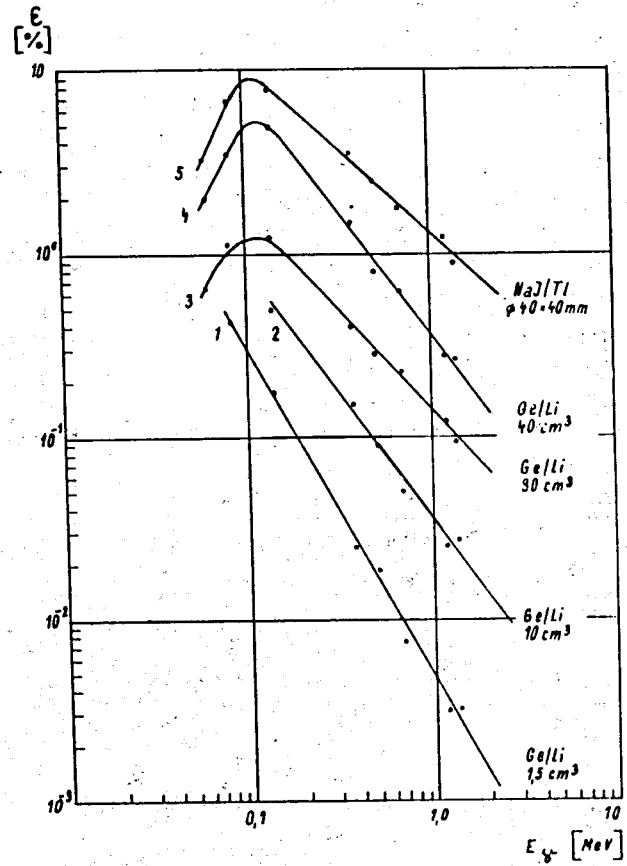


Рис. 2. Кривые абсолютных эффективностей регистрации гамма-квантов использованными детекторами.

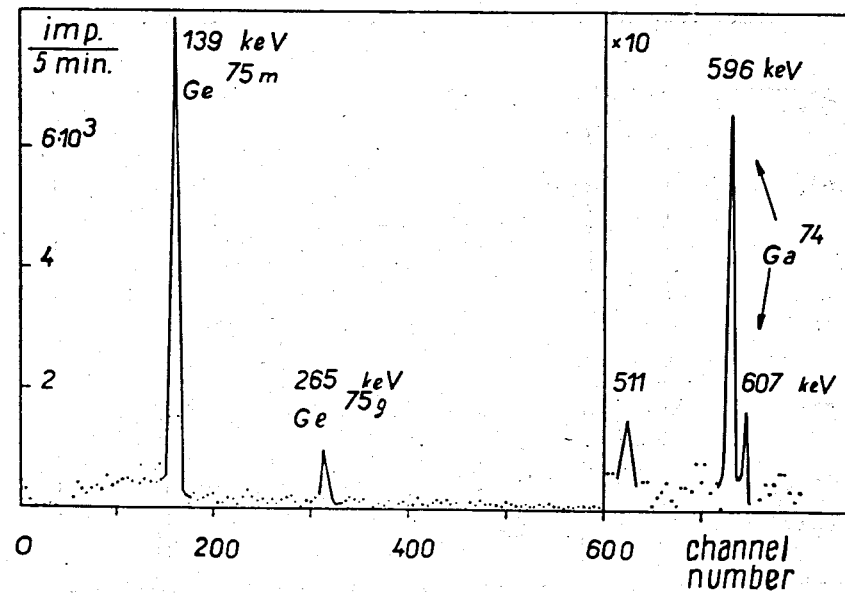


Рис. 3. Часть гамма-спектра ^{240}O , 9 мг германия, снятого через 15 сек после 5-минутного облучения потоком $4,9 \times 10^8 \text{ н/см}^2 \cdot \text{сек}$ с помощью Ge(Li)-детектора /40 см³/ и 4096-канального анализатора импульсов.

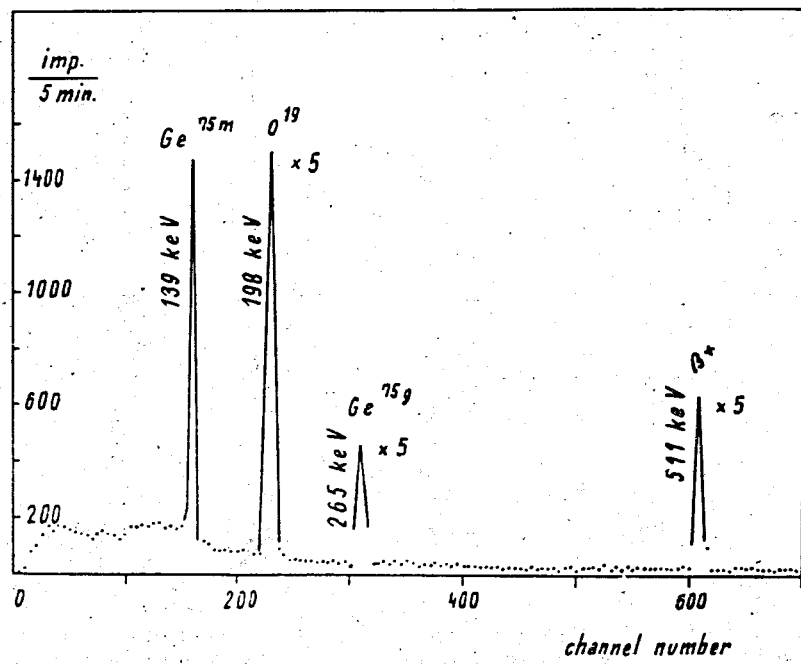


Рис. 4. Мягкая область /О - 55О кэв/ гамма-спектров соединений, содержащих германий и фтор.

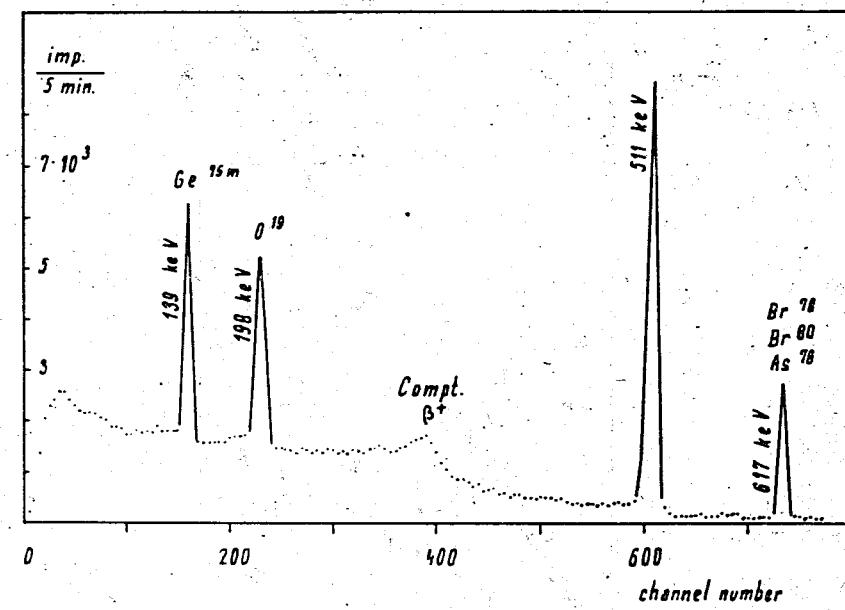


Рис. 5. Мягкая область /О - 700 кэв/ гамма-спектров соединений, содержащих германий, фтор и бром.

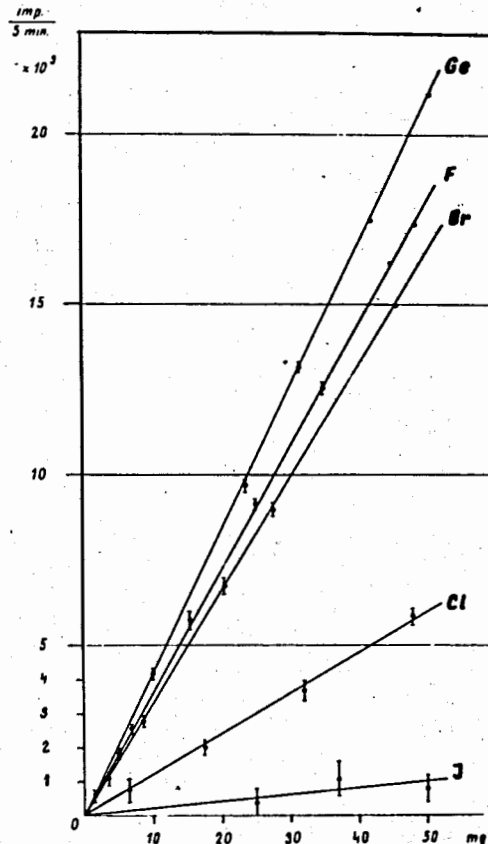


Рис. 6. Калибровочный график для одновременного определения германия, фтора, хлора, брома и иода в режиме 300 - 15 - 300 сек.

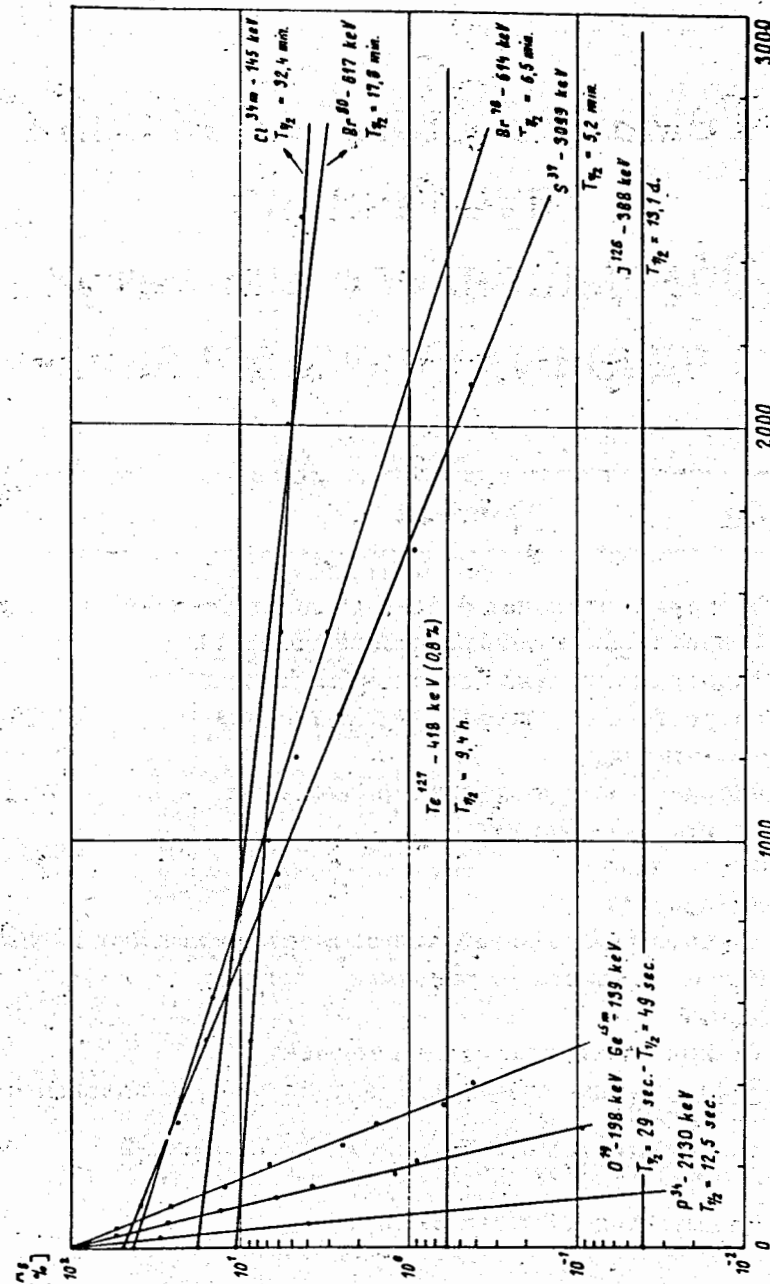


Рис. 7. Периоды полураспада радионизотопов аналитических и тех, по которым возможно определение при изменении рабочего режима.